

Documents Ressources

Document 1 : Modélisation simplifiée de la BTA

Document 2 : Définitions des bases associées à l'axe rotor **5** et à la pale **20**

Document 3 : Valeurs des fonctions trigonométriques usuelles

Document 4 : Schématisation de la fixation de la pale **20** sur le rotor **21**

Document 5 : Modélisation de la transmission des efforts centrifuges de la pale sur le faisceau

Document 6 : Modélisation de la torsion du faisceau **29** générée par la commande de pas

Document 7 : Schématisation du montage de roulements de l'arbre d'entrée **7**

Document 8 : Schématisation de l'effort \vec{F}_S sur le pignon conique (arbre d'entrée **7**)

Document 9 : Eléments de démarche constructeur pour le calcul des efforts axiaux dans les roulements à rouleaux coniques

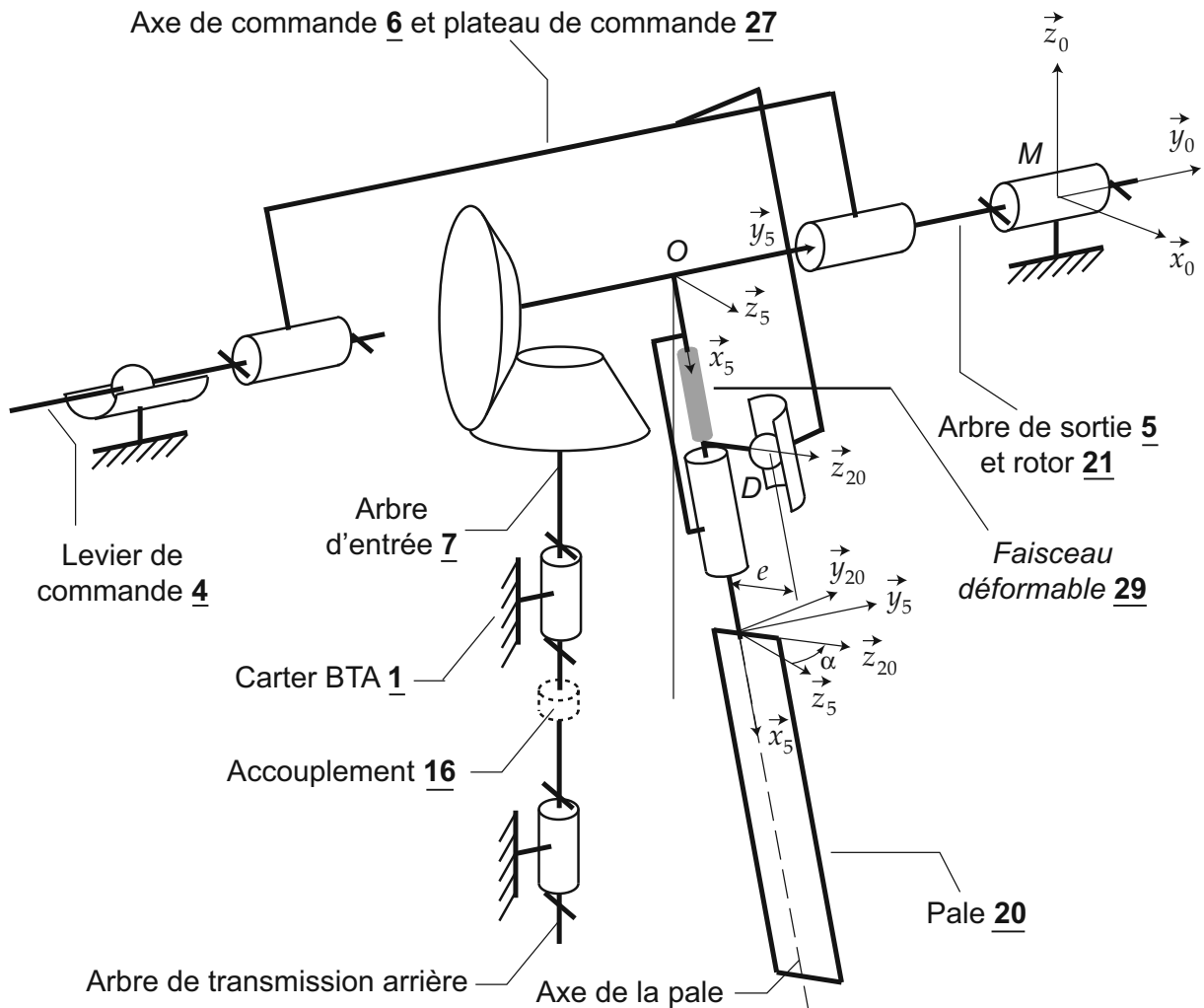
Document 10 : Dessin des roulements à rouleaux coniques E et F à l'échelle du calque A3 (échelle 3 :4)

Tableau 1 : Caractéristiques des roulements E et F

Tableau 2 : Notations et valeurs numériques

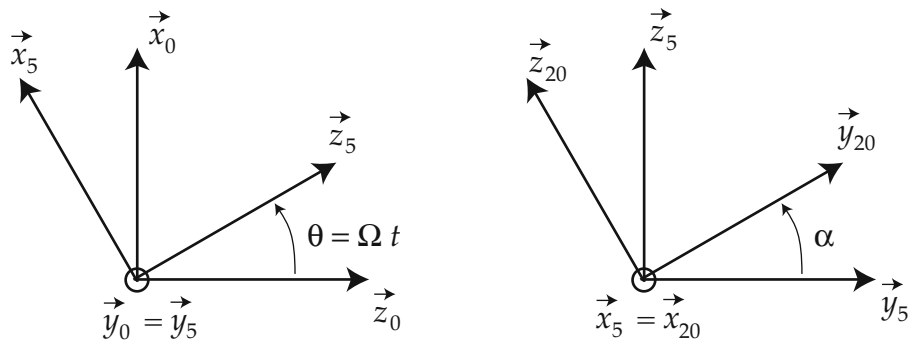
Tableau 3 : Nomenclature

Plan 1 : Plan d'ensemble échelle 1 :3 avec numéros des pièces

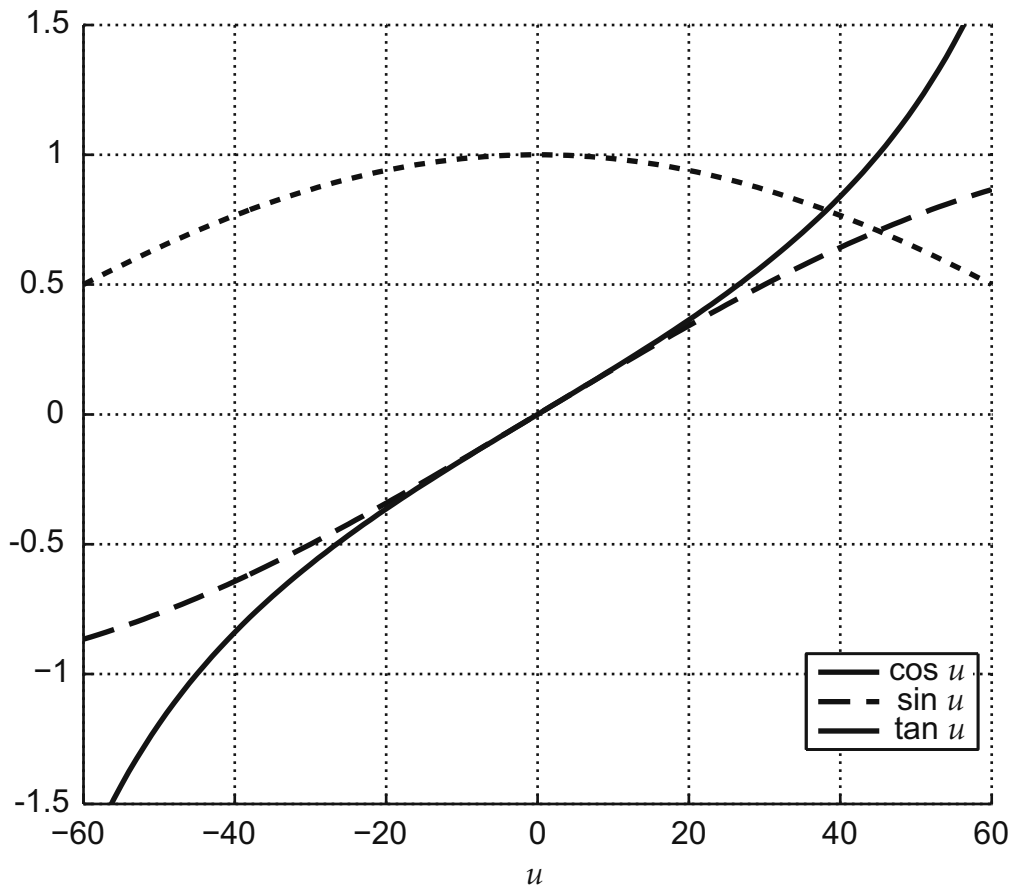


Ce schéma cinématique comprend une pièce déformable, le faisceau **29**, et présente les bases associées aux pièces. La base $(\vec{x}_0, \vec{y}_0, \vec{z}_0)$ est liée au fuselage-bâti, la base $(\vec{x}_5, \vec{y}_5, \vec{z}_5)$ est liée à l'axe rotor, la base $(\vec{x}_{20}, \vec{y}_{20}, \vec{z}_{20})$ est liée à la pale.

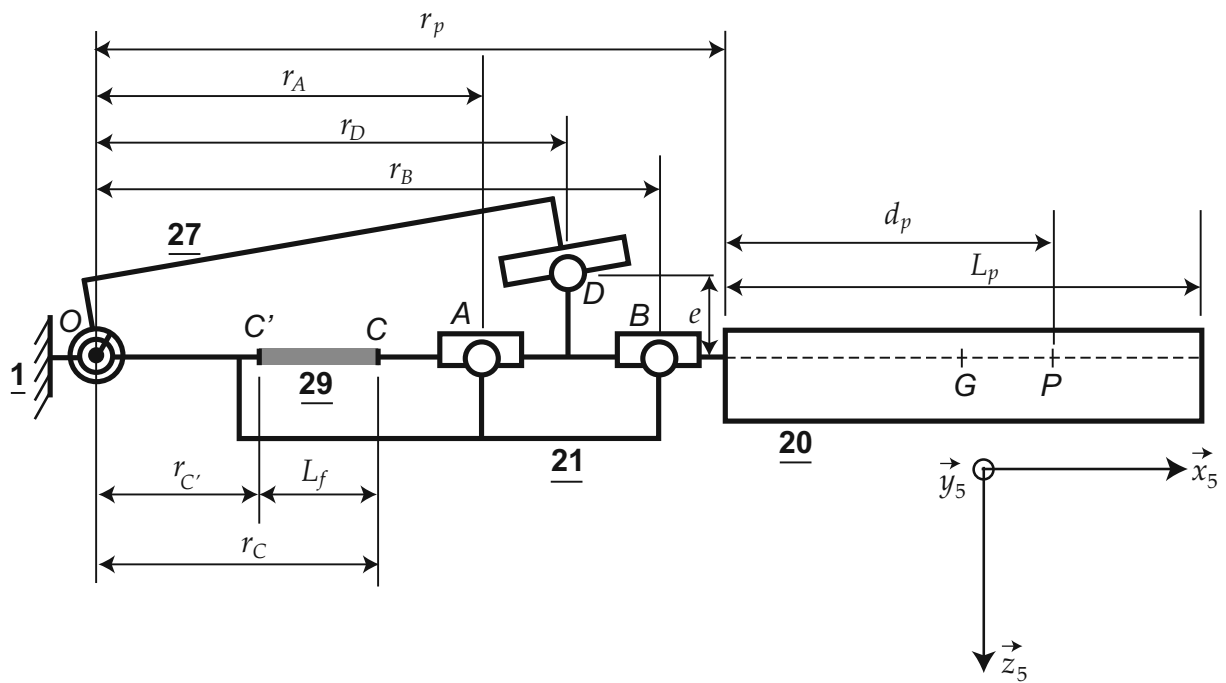
Document 1 – Modélisation simplifiée de la BTA.



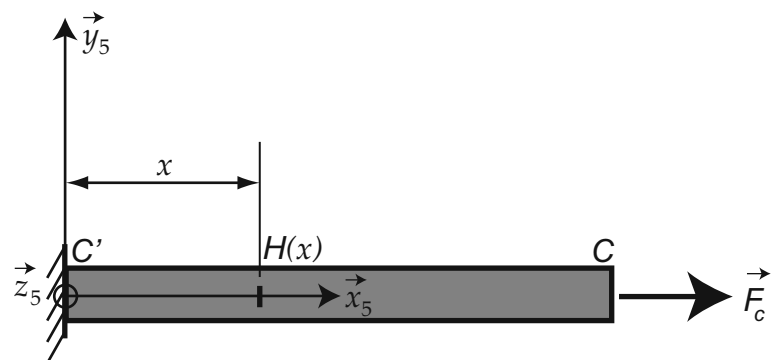
Document 2 – Définitions des bases associées à l'axe rotor 5 et à la pale 20.



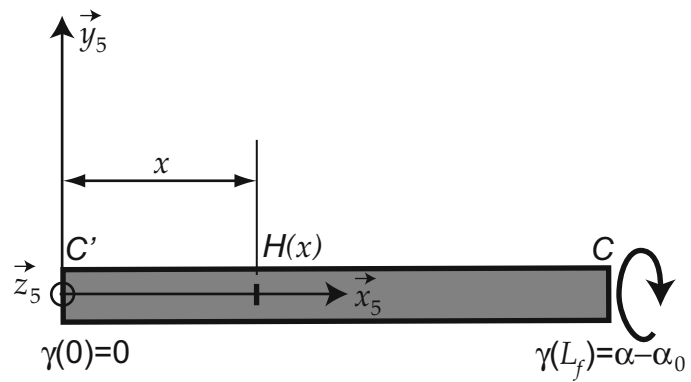
Document 3 – Valeurs des fonctions trigonométriques usuelles.



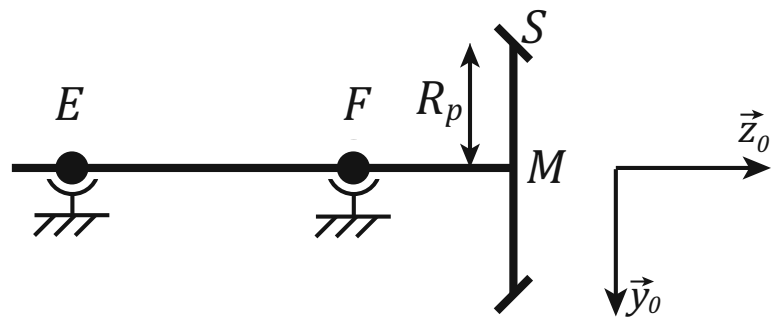
Document 4 – Schématisation de la fixation de la pale 20 sur le rotor 21.



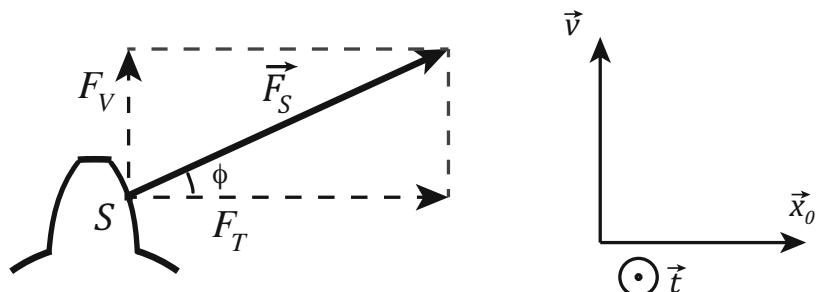
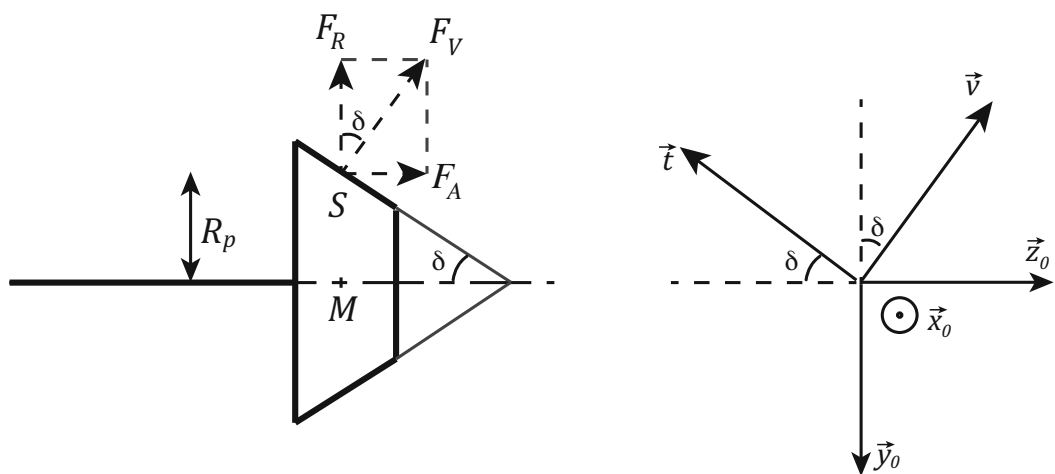
Document 5 – Modélisation de la transmission des efforts de la pale sur le faisceau.



Document 6 – Modélisation de la torsion du faisceau 29 générée par la commande de pas.



Document 7 – Schématisation du montage de roulements de l'arbre d'entrée 7.



Document 8 – Schématisation de l'effort $\vec{F}_S = F_T \cdot \vec{x}_0 - F_R \cdot \vec{y}_0 + F_A \cdot \vec{z}_0$ sur le pignon conique de l'arbre d'entrée, définition des composantes : radiale - F_R , tangentielle F_T et axiale F_A et des angles ϕ et δ .

Montage en « O » hyperstatique : $-F_z^E + F_z^F + F_A = 0$

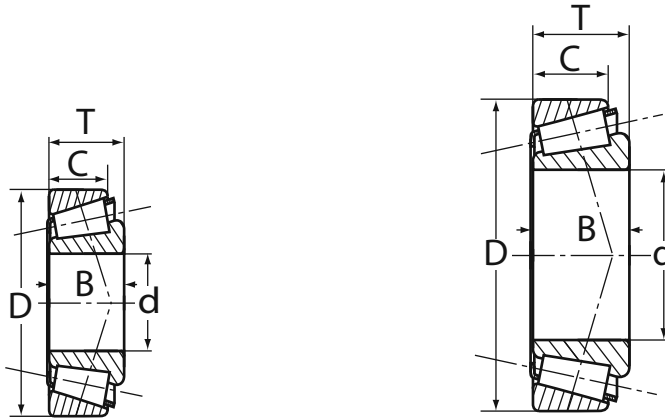
Avec les composantes radiales F_R^E et F_R^F connues.

Sous l'hypothèse d'un fonctionnement à jeu nul :

alors si $-\frac{F_R^E}{2Y_E} + \frac{F_R^F}{2Y_F} + F_A > 0$ est vérifiée, on prend $\begin{cases} F_z^F = \frac{F_R^F}{2Y_F} \\ F_z^E = F_z^F - F_A \end{cases}$

sinon si $-\frac{F_R^E}{2Y_E} + \frac{F_R^F}{2Y_F} + F_A < 0$ est vérifiée, on prend $\begin{cases} F_z^E = \frac{F_R^E}{2Y_E} \\ F_z^F = F_A + F_z^E \end{cases}$

Document 9 – Eléments de démarche constructeur pour le calcul des efforts axiaux F_z^E et F_z^F des roulements à rouleaux coniques E et F (montage en « O » hyperstatique)



Document 10 – Dessin des roulements à rouleaux coniques E (à gauche) et F (à droite) à l'échelle du calque 1 format A3 (échelle 3:4) respectant les caractéristiques données au Tableau 1.

Caractéristiques	d (mm)	D (mm)	T (mm)	C (kN)	C_0 (kN)	e	Y
Roulement E	17	40	13,25	8	7	0,35	1,7
Roulement F	30	55	17	30	45	0,43	1,4

Rappel : si $\frac{F_Z}{F_R} > e$ alors la charge équivalente vaut $P = 0,4F_R + Y.F_Z$; si $\frac{F_Z}{F_R} < e$ alors la charge équivalente vaut $P = F_R$.

Tableau 1 – Caractéristiques des roulements à rouleaux coniques retenus : d diamètre intérieur, D diamètre extérieur, T largeur totale, C charge statique de base, C_0 charge dynamique de base.

Diamètre rotor		900 mm
Nombre de pales		10
Masse d'une pale	m_p	270 g
Force exercée sur la pale	F_c	13000 N
Extension maximale des pales		+ 3%
Régime nominal de rotation rotor	N	3660 tr/min
Couple sur l'arbre d'entrée	C_e	20 N.m
Angle de pas	α	[-30° , $+48^\circ$]
Angle de pas faisceau non contraint	α_0	9°
Corde de pale		43,5 mm
Poussée		-90 daN à + 400 daN
Effort de commande maxi		600 daN
Module de cisaillement du faisceau 29	G_{eq}	70 000 MPa
Inertie géométrique du faisceau 29	I_f	$1,2 \cdot 10^{-10} \text{ m}^4$
Distance entre l'axe de pale et la liaison pale/cloche rotor	e	30 mm
	r_p	183 mm
	r_A	103 mm
	r_B	180 mm
	r_C	163 mm
	r_D	136 mm
	L_f	110 mm
	L_p	288 mm
	d_p	216 mm
Diamètre du faisceau	D_f	6 mm
Angle denture pignon conique	ϕ	20°
Angle renvoi conique d'entrée	δ	$42,44^\circ$
Rayon primitif MP pignon conique	R_p	50 mm

Tableau 2 – Notations et valeurs numériques

Numéro	Nombre	Désignation	Matériaux
1	1	Carter	Alliage d'aluminium
2	1	Boîtier d'entrée BTA	Alliage d'aluminium
3	1	Couvercle	Alliage d'aluminium
4	1	Levier de commande de pas	Acier
5	1	Arbre de sortie BTA (Z=35)	Acier
6	1	Axe de commande de pas	Acier
7	1	Arbre d'entrée BTA (Z=32)	Acier
8		Vis	Acier
9	1	Joint torique	
10	1	Roulement à rouleaux cylindriques	
11	1	Roulement à deux rangées de billes	
12	1	Roulement à deux rangées de billes	
13	1	Joint à lèvre	
14		Vis (non représentée)	Acier
15		Vis	Acier
16	1	Joint d'accouplement avec arbre de transmission arrière	
17	1	Bouchon	
20	10	Pale	Composite
21	1	Rotor	Alliage d'aluminium
22	10	Rondelle	Acier
23	10	Axe	Acier
24	1	Pièce de liaison BTA/rotor	Acier
25	1	Anneau élastique	Acier
26	10	Bague de guidage	
27	1	Plateau de commande	Alliage d'aluminium
28	10	Bague de guidage	
29	10	Faisceau déformable	Composite
30	1	Carénage	
31	1	Pièce de fixation	Acier
32	1	Ecrou	Acier
33		Vis de blocage	Acier
34	10	Ecrou	Acier
35	10	Bague	Acier
40	10	Rondelle	Acier
41	10	Vis	Acier
42	10	Entretoise	Acier
43	10	Rondelle	Acier
44	10	Ecrou	Acier
45	10	Rotule	Acier

Tableau 3 – Nomenclature

PLAN 1
ECHELLE 1:3

